

目 次

論 築

野尻抱影：冥王星に就いて	137
一柳壽一：太陽光球の問題(II)	138
廣瀬秀雄：アラナート反射寫真機(IV)	143

抄 錄 及 資 料

無線報時修正値	148
駕者座と星の本年の食の観測	148
VIII月に於ける太陽黒點概況	149

天 象 櫃

流星群	149
變光星	149
東京(三鷹)に於ける星の掩蔽(XI月)	150
XI月の太陽・月・惑星	150

日本天文學會秋季例會

来る十一月十四日秋季例會を次の次第で開きますから、奮つて御參會下さい。

月 日 昭和十七年十一月十四日(土)

會 場 東京府北多摩郡三鷹町 東京天文臺

講 演 午後二時より午後四時半まで

(イ) 戰爭と天文學 關口 鹿吉氏

(ロ) 泰佛印見聞談 梅本 豊吉氏

參 觀 午後六時より午後七時半まで

陳列品縦覽、天體觀覽(惑星、月、その他)幻燈、繪葉書及び天體プロマ
イド即覽

〔注意〕 1. 雨天の際は天體觀覽のみ中止 2. 來會者は靴又は草履を用ひられ度し 3. 來會者は名刺に特別又は普通會員と記し受附に渡されたし 4. 交通は中央線武藏境駅より三軒半、京王電車上石原駅より二軒、兩駅より四十分毎に乗合自動車の便あり 5. 會場附近には食事の設備不充分につき夕食を持參せられ度し、但し湯茶の用意あり

論叢

冥王星に就いて

野尻抱影

提案してから満十年で冥王星の名が専門家諸賢の検討を辱うすることとなり、本誌では土橋氏の御批評を拜見することを得た。それで改めて當人としての意見を開陳し、同時に氏の提案された地王星にも一言させて戴くこととする。

あの當時私は、第九惑星 Pluto の命名者が現代の英語國民である故に、英語を通じた神話常識によつて、冥王星の譯名を案出した。そして現在でもこれを變改しようと思つてゐない。土橋氏は Britannica を引用して Pluto の語原を強調され、これは地中の富を司る慈善の神であるから、冥王の忌はしい譯名は不適當であると説き、延いてわが英和辭典の Pluto の譯語をも不完全と評されてゐる。

Pluto の語原は正にその通りであるし、第五世纪中葉以來ギリシャ本土でこの神格の Plouton が Hades に代つて信仰の中心になつたことも一般神話書に出てゐる。けれど彼の住家が幽暗な地下であつたことには變りがなく、やがて又語原的神格も空なものとなり、たゞへ冷厳な Hades でないまでも、冥府の王に復職してゐた。特にローマに入つての Pluto はさうで、その例は岩波文庫「アエネーイス」などを漫讀してもあちこちに出て来る。又、土橋氏引用の Britannica の文の終りに、ローマでは Hades を Dis Pater (the wealth father, 富の父)とも呼んだが、これは死者の支配者であるとあるのも、同じ消息を語るものと思ふ。

而して後代の諸國民はローマ文學を通じてかういふ神話の知識を得た。私の座右にも Spenser, Shakespeare, Milton 以下、すべて Pluto を冥府の王に扱つた文献は乏しくない。今日の英米辭典も亦然りで、語原に及んでゐるものは少數である。土橋氏は Webster 大辭典の Pluto を引かれて

も、不完全なのを見出されるだらう。わが英和辭典の譯語はそれらに倣つたまでのことである。非難すべきでない。

かうして語原通りの Pluto は少くも西暦前に消え失せた亡靈で、それを現代に甦らせて Pluto の常識的語義を訂正しようといふのは無理である。土橋氏は冥王を「忌はしい」名稱と評されるが、神話的、純藝術的な存在にそんな實感が伴ふだらうか。又冥王を以て直ちに地獄 (Tartaros) の王とするのも神話的に誤謬がある。冥王星は魔王星とはならない、閻王星でも誤解を招く。

けれど、惑星の名 Pluto が冥府の王でなければならぬ第一理由が未だ残つてゐる。あの惑星は當初暫くは Planet X と假稱されてゐたのを、英國 Oxford の十一歳の少女 Venetia Burney が Pluto の名を案出し、それを H. H. Turner 教授から Slipher 教授へ報じた結果、討議採擇となつたのだが、それを最も適當な名稱と認めた理由は二つあつた。Dietz の The Story of Science (竹内、佐藤兩氏共譯あり) に、「その一は、Pluto は神話の上で幽冥界の王といはれて居り、この惑星が太陽系のはづれの暗い所にあること、その二は、この名前の最初の二字が Percival Lowell の頭文字であることだつた」とある。後の理由で Slipher は PLuto と書くことをも提案してゐた。

これはその當時吾々も屢々耳にしたことで、私の冥王星がこれから示唆されたのも勿論である。今新たに星名を議するにしても、發見者であり、命名者である國民の心理を無視することは出來ぬだらう。

次ぎに地王星に就き一言する。天王、海王、地王三惑星の鼎立は、想つても愉快である。しかし遺憾ながら Pluto は地王と呼ばれる資格はない。Britannica の引用にもあつた如く、Hades は地

下王國を領土に獲たが、Pluton となつたところで、その領土が「海を除いた地面」まで進出した神話などはない。地 (Earth) は天と共に大神 Zeus が先づ己の領とし、残る河海を Poseidon に、地下を Hades に與へたことは凡百の神話書の開巻早々に出て来る周知の事實である。もし Pluto が “the King of Earth” ならば、私も十年前に躊躇なく地王星を提案しただらう、しかし、彼は地下王であつて、地王ではなかつた。

終りに、土橋氏は「假名の名前では支那では通

用しないから日本で漢字名を決定しなければ、支那でそれを作られるだらう」と言はれたが、これには小生暫く茫然としてゐたことを告白する。私が民國の公刊書で冥王星の名を使用し始めたといふ報告に接したのは、昭和八年三月節句の當日である。座右の恒星圖表は民國二十六年（昭和十二年）商務印書館發行のものだが、下に行星の項を抜いてこの稿を終る。「古代只知金、木、水、火、土五星爲行星，今已知地球亦係行星之一，與天王星、海王星，冥王星合爲九大行星。」（9, 15）

太陽光球の問題 (II)

一 柳 壽一

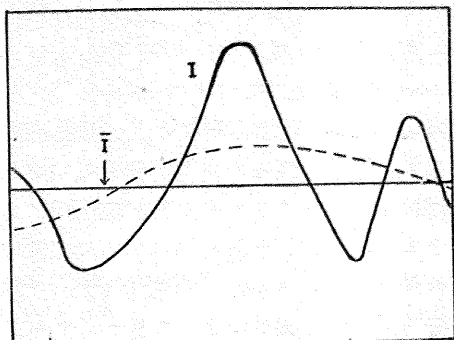
II 粒状斑

光球内部に不安定層があれば、それは何等かの形で光球面現象として現れるであらう。粒状斑が即ちそのひとつであると考へられる。粒状斑は光球面上、赤道、極の別なく殆んど一様な分布を示して居り、またその性状は Chevalier による 1905—1912 年に亘る観測の示す太陽活動週期とは無関係である事實によつて、黒點發生等の問題とは無関係な光球外層の恒常的現象と考へることが出来る。従つて粒状斑の性状を精しく研究することによつて前章に於て静止的な輻射平衡の状態として考へた光球自身の構造について更に高次の知識が得られそうである。このやうな粒状斑について觀測的に知られて居る事實は、然し乍ら、他の太陽面諸現象に比較して豊富であるとは云へない。勿論觀測が技術的にも氣象條件からも多くの困難を伴ふためもあるが、ひとつにはそれが今世紀初頭の Janssen, Hansky, Chevalier の観測以後約 20 年間に亘つて忘れ去られて居た理由にもよるであらう。1932 年 Strelbel-Thüring が再びその觀測結果を發表するに及んで、漸く Plaskett, ten Bruggencate, Grotian, Pahlen, Keenan 等による系統的研究が相次いで行はれるやうになり現在に到つて居る。このやうにして得られた觀測の諸結果を要約すると大體次のやうになる。

粒状斑の形體、大いさ、輻射強度等は不規則な分布を示して居るので、觀測は粒状斑の個々の個體について物理的量を測定するのでなく、それらの統計的平均値を測定する。即ち粒状斑の直徑、強度等すべてこの意味に解釋する。太陽像を中心から直徑に沿ひ又は或る半徑の圓周に沿つて測光を行ふとき太陽面の強度分布として第 4 圖の如き波形の測光曲線が得られる。然るとき或る長さ τ'' (角度の秒) を採り、 I をその部分に含まれる極大強度の數 (N_{\max}) 及び極小強度の數 (N_{\min}) の和を以つて除した量によつて粒状斑の直徑 $D = \tau'' / (N_{\max} + N_{\min})$ を定義することが出来る。⁽¹⁾ 表の第 2 列は太陽像撮影に用ひた平均波長域を示し、連續スペクトルの部分に屬する。第 3 列が以上の方法に従つて求めた粒状斑の直徑であるが、Strelbel-Thüring を除き、Plaskett 及び特に ten Bruggencate の異なる波長による同時觀測の結果によれば直徑、分布に波長による相異のないことを示して居る。Plaskett の場合は以上の波長域に於て $\lambda 5837, 4811, 4365$ 及び 4012 の四領域について

(1) Strelbel-Thüring は粒状斑の直徑、強度の測定が互に獨立であるべき理由から、平均強度 \bar{I} と常數だけされた I' を丁度その上下にある極大及び極小強度の數が最大なる如く定め、 I' を基準にとつて D 及び強度を定めた。（次の註）。又 Keenan は太陽像のうち特定の領域を選びそこに於ける粒状斑の數及び面積を測定して平均的直徑を定めた。

第 4 圖



第 4 表

観測者	平均波長域 Å	D(秒)	I_G/I_B
Strelbel-Thüring ⁽¹⁾	3200	8.8	1.10
Plaskett ⁽²⁾	5837-4012	4.8	1.10
ten Bruggencate u.a. ⁽³⁾	3720, 7000	5,(14)	1.14,(1.04)
Keenan ⁽⁴⁾	5550	1.0-1.2	1.15-1.20
Waldmeier ⁽⁵⁾	不明	1.1-2.3	1.30-1.40

の平均値である。平均 5''として 3700 粒の直徑を持つわけである Keenan 及び Waldmeier の結果は古い Janssen, Hansky, Clevalier と同一大きさを示すものであるが、之は最良の観測條件の下で粒状斑個體を捕捉したものと考へられるであらう。ten Bruggencate も後に 1''-2''の観測記録を得たことを報じて居る⁽⁶⁾。また ten Bruggencate は 5''-粒状斑の強度変化の裡に更に緩漫な強度変化のあることを見出した(第4圖破線)。即ち 5''-粒状斑の統計的 Schwankung の結果、形成される粒状斑と考へられるわけであるが、その直徑は表に示した 14''である。

次に測光曲線から平均強度 \bar{I} ⁽⁷⁾ を定め

- (1) ZS. f. Ap. 5 (1932), 348; 6 (1933), 313; A. N. 258(1936), 17; 269 (1939), 121.
- (2) M. N. 96 (1936), 402.
- (3) ZS. f. Ap. 16 (1938), 51.
- (4) Ap. J. 88 (1938), 360; 89 (1939), 604.
- (5) Helv. Phys. Acta 13 (1940), 13. Sci. Abstract による。
- (6) ZS. f. Ap. 16 (1938), 374.
- (7) Strelbel-Thüring ($\sin\theta=0.875$ まで測定) 及び ten Bruggencate ($\sin\theta=0.985$ まで) は $I(\theta)$ が大體 Abbot の觀則と一致することを確めて居る。

標準偏差を求ることによつて、粒状斑の平均強度を知ることが出来る。第4表の値はこのやうな意味に於ける粒状斑とその中間領域との相對強度の太陽面中心に於ける値である。Plaskett の値は

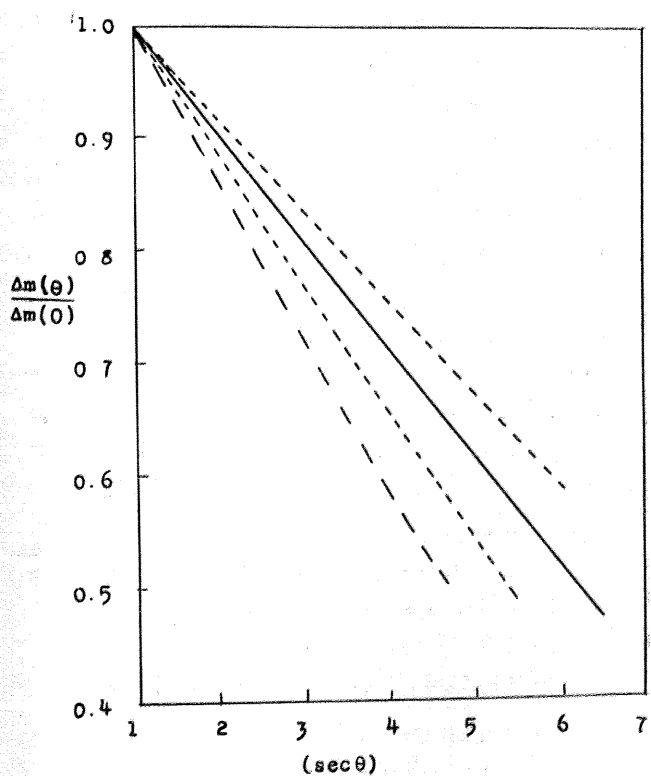
第 5 表

λ	$\frac{I_G - I_B}{\bar{I}}$
5837	0.019
4811	0.029
4365	0.027
4012	0.039

四つの波長域に於ける平均値を示すもので、個々の波長については次表の如く短波長と共に強度變化の増大することが認められて居る。第4表から I_G/I_B に相當する、粒状斑とその中間領域との輻射溫度差は平均 100 度の程度であることが判る。

Plaskett, ten Bruggencate は之等の相對強度を太陽面中心のみならず種々の位置(θ)に於て測定することによつて、粒状斑強度の中心周邊變化を調べた。ten Bruggencate の場合は太陽緣邊近傍で 5''-粒状斑は識別出来なくなるので、從つて観測は 14''-粒状斑についてである。 I_G と平均強度 \bar{I} の比を等級差 $\Delta m(\theta)$ によつて表すとき、第5圖に實線で示す如き結果を得る。上下の點線は觀

第 5 圖



測の誤差の及ぼす範囲を示した。之に地球大気の擴散現象による修正をしたもののが實際の相對強度になるわけであるが、逆に光球面上で一定である相對強度が地球大気の影響を受けて觀測される場合の變化を破綻で示した。従つて實測結果は相對強度の縁邊へ向つて多少増大することを示すのであるが、大氣影響の修正の近似度及び觀測精度を顧みて、相對強度は縁邊へ向つて少くとも減少することはなく、大體一定であらうと結論して居る。黒點の相對強度に關する觀測結果と同一傾向が得られたわけである。この事實と前述の相對強度の大きさとから、觀測された粒狀斑の輻射強度が直接、光球の連續スペクトルの強度分布及び縁邊減光に附け加へる影響は極めて小であることが明かになる。

粒狀斑の平均壽命については ten Bruggencate, Grotian⁽¹⁾によつて、今 t 分後に最初存在した粒狀斑の $N\%$ が存在するとき、次の關係のあることが見出された。

$$N = 100 e^{-\frac{t}{32}}$$

従つて 5" 乃至 14"-粒狀斑の平均壽命として 3.2 分が得られる。粒狀斑個體の壽命は之より大ではあり得ないであらう。

最後に粒狀斑の運動については現在信ずべき觀測記録はない。Hansky は像のズレを粒狀斑の運動と考へ速度として 3-5 杆/秒を得たのであるが、ten Bruggencate 及び Grotian⁽²⁾ は觀測材料の正しい整理をするとき、速度は 8 杆/秒程度でなければならず、之は吸收線輪廓の觀測事實に矛盾する理由によつて Hansky の解釋を否定して居る。粒狀斑自身のスペクトル及びその視線方向の速度の觀測はない。

之等の諸事實を光球内の對流として説明しようとするのであるが、實際に發生する對流の機構として異なる假定をとることによつて二つの理論が考へられる。ひとつは對流を亂流運動と見做す Siedentopf の理論と、他は反対に層流運動と見做す Plaskett の理論とである。

i) Siedentopf の理論：太陽大氣及び内部の

對流運動を流體力學に於ける亂流現象として考察することは Rosseland⁽³⁾ がはじめて指摘したのであるが、それの具體化は大氣問題については Siedentopf⁽⁴⁾ によつて行はれた。

Siedentopf は不安定層に於ける對流は亂流状態にあり、亂流の個々の氣塊、即ち氣體論に於ける氣體粒子に相當するものが粒狀斑個體であると假定する。Prandtl の亂流理論によれば氣塊によつて傳達されるエネルギーの流れ πF_K は單位面積單位時間につき次式によつて與へられる。

$$\pi F_K = C_p \rho u l \left\{ \left(\frac{dT}{dx} \right)_R - \left(\frac{dT}{dx} \right)_A \right\}$$

ρ は氣塊の密度、 C_p は等壓比熱、 u は上昇氣塊の速度、 $\left(\frac{dT}{dx} \right)_{R,A}$ は夫々輻射平衡、斷熱平衡の場合の溫度勾配である。 C_p 及び溫度勾配は大氣模型を假定することによつて計算される。亂流運動に於ては氣體論に倣つて氣塊が氣塊として運動を始め再び周圍と混合し終るまでの平均自由行程を考えることが出来る。 l が即ちそれで混合距離と呼ばれる量である。混合距離は通常の假定に従つて氣塊の大きさ、即ち粒狀斑の直徑に等しいとする。

$\left(\frac{dT}{dx} \right)_R > \left(\frac{dT}{dx} \right)_A$ なる關係の成立する不安定層に於ては、對流によるエネルギー傳達は輻射による傳達と同一方向になり πF の增加が齎される。亂流理論自身が現在急速な發展途上にある理論でもあるので、Siedentopf の研究は上式を基にした場合、粒狀斑の觀測事實相互の關係がどの程度まで説明され得るかを調べたに止るのである。

先づ粒狀斑の輻射強度が光球の約 10% 大なる事實を用ひて、即ち $\pi F_K = \frac{1}{10} \pi F = 6 \cdot 10^9$ (エルグ) として亂流交換係数 $A (= \rho u l)$ を定める。即ち

$$A = \rho u l \approx 0.2 \cdot 10^6$$

Siedentopf の數値をその儘用ひると、 ρ として不安定層の平均密度 $\sim 5 \cdot 10^8$ をとり、混合距離として $l = 500$ 杆を假定するとき、 A の値から氣塊の平均上昇速度として 0.8 杆/秒が得られる。ま

(1) ZS. f. Ap. 12 (1936), 323.

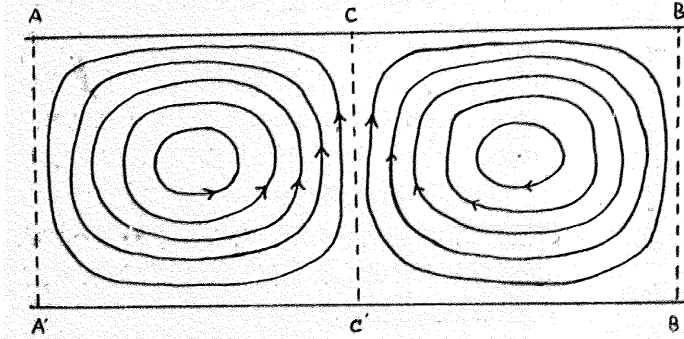
(2) ZS. f. Ap. 14 (1937), 341.

(3) M. N. 89 (1928), 49. Astrophysik (1931), 87.

(4) A. N. 247 (1932), 297; 255 (1935), 157.

た乱流気塊の平均壽命はそれが混合距離を通過する時間即ち l/u として概算される。即ち平均壽命として 10 分が得られるが、計算の近似度を考へれば前述の観測結果と略々大さの程度に於て一致すると云へる。また上昇速度は吸收線の輪廓の研究⁽¹⁾から得られた光球内の視線方向の附加的乱流速度 1.6—1.8 粕/秒に相當するものと判断してよいやうである。前述の混合距離の假定を考へると Siedentopf は氣塊の直徑として 1" 以下を假定したことになるわけであるが、粒状斑の直徑は之より更に大きい。また乱流理論によれば乱流気塊の運動には氣體論に於ける粒子運動の如き状態が成立しなければならぬが、そのためには氣塊の運動可能の空間が氣塊自身の直徑より充分大でなければならぬ。即ち不安定層の深さに關する問題が現れる。Siedentopf は不安定層の擴りとして $\tau = 2-300, 700$ 粕としたのであるが、この結果は小にすぎない。不安定層の擴りは大氣模型及びその層に於けるエネルギー傳達の機構によつて定まり、従つてそれらの假定を變へることによつて更に大きい 10^5 粕程度の可能性を示すことも出来るが⁽²⁾、未だ明かに斷定することは出来ないやうである。このやうに重要な理論的不備があるとしても、以上の如き簡単な乱流大氣模型によつて粒状斑の概略の像は書き得ると考へられる。即ち對流によつて傳達された局部的な過剰輻射エネルギーの流れが輻射平衡の上層を通じて流れる。輻射平衡の層は 200 粕程度の薄さであるため、そこに於て過剰輻射エネルギーが周囲へ傳達平均化

第 6 圖



(1) Allen: Ap. J. 85 (1937), 165. ten Bruggencate: ZS. f. Ap. 18 (1939), 316.

(2) Biermann: A. N. 264 (1937), 361, 395. 藤田良雄: Proc. Phys. Math. Soc. 20 (1938), 484.

されることなく明かな對照をもつた粒状斑として觀測される。また對流層が深く、そこから直達する輻射が僅かであるとすれば相對強度の中心周邊變化が、即ち粒状斑に於て近似的に輻射平衡の成立することが説明されるであらう。その場合、亂流気塊は不安定層を通過して安定な輻射平衡の上層へも達し、そこでやがて減衰するであらう。ten Bruggencate 及び Houtgast⁽³⁾ は太陽に於て $\sin \theta = 0.98, 0.99$ (平均光學的深さ 0.17, 0.09 の上層に當る) に於ける吸收線輪廓から視線方向の亂流速度として夫々 1.4, 1.2 粕/秒を得て居る。光球上層に到るまで所謂等方性乱流が存在すると考へることが出来るであらう。

(ii) Plaskett の理論⁽⁴⁾: Plaskett の理論も Unsöld の不安定層に關聯して出發する。Plaskett は大氣が不安定であつても條件によつては對流の發生し得ない場合があるので、先づ不安定層に於て對流の發生し得る條件を吟味し、次いで粒状斑現象と夫々を結合することを試みた。靜止氣層を考へ(第 6 圖)，その下層 A' B' の溫度を高め、溫度勾配を次第に増大し或る限界を超えるときには氣層内に圖示する如き層流對流が發生する。所謂 Bénard の細胞型對流 (tourbillons cellulaires) である⁽⁵⁾。上方から下瞰すると中心 C'C に高溫の上昇流があり、周圍の多邊形の邊に沿ふて下降流が發生する。このやうな對流の發生する條件は Rayleigh, Jeffreys, Low 等の理論的研究及び Schmidt, Saunders, Chandra 等の實驗的研究によれば、氣層の溫度勾配が斷熱溫度勾配より次式によつて定まる量 β だけ大である場合である。

$$\left(\frac{dT}{dx} \right)_R - \left(\frac{dT}{dx} \right)_A > \beta$$

$$\beta = \lambda \frac{k\nu}{g\alpha cph^4}$$

λ は境界條件によつて定まる常數， g は重力加速度， h は氣層の厚さ， k ， ν ， α ， c は夫々大氣の熱傳導率、動粘性係数、膨張係数及び比熱を意味する。Plaskett はこの判別を太陽不安定層に

(3) ZS. f. Ap. 20 (1940), 149.

(4) M. N. 96 (1936), 418.

(5) Bénard 對流の天文現象との關係は Jeffreys がはじめて指摘した。M. N. 91 (1930), 121.

適用した。 $h=650$ 粮 とし、その他の量を適當に（精密な値は判らぬ）假定して $\beta=2.2 \times 10^{-30}$ 度/穢を得た。他方温度勾配の差は Unsöld の模型大氣について 2.7×10^{-5} 度/穢となり、之によつて不安定層に於て Bénard 対流の發生し得る條件が満足される。第6圖に示す如く中心 C'C に上昇する高溫度氣體は輻射強度が大きく、逆に外側の下降氣流の部分は強度が小さく、従つて Plaskett はこのやうな像を粒狀斑現象と照應させることが出來ると考へるわけである。但し Bénard 対流に於ては中心と外側との距離 CA は氣層の厚さの 1.5 倍に等しい關係がある。粒狀斑の直徑を 5" とすれば氣層の厚さは ~ 2000 粮となることが要請され Siedentopf の理論と同一問題に逢着する。

Plaskett はこのやうな粒狀斑の模型を前章に述べた Plaskett の溫度分布の問題、種々の太陽像に見られる多角形的な模様、また黒點半陰影に於ける Filament の問題と結び付けて一應の解釋を試みて居る。特に後者の Filament を外力の歪を受けた場合の Bénard 対流と考へることは Siedentopf の理論よりも考へ易いやうである。然し乍ら Plaskett の理論は未だ相對強度を説明する如き量的な研究にまでは進められて居ない。また Bénard 対流は定常的永續的性質を持つため、平均壽命を持つ粒狀斑を説明するには更に上昇氣流による溫度勾配の變化、或は何等かの偶發的な原因を考へねばならぬであらう。また Plaskett 理論は対流の存在を確めたのみであつて、その流れの性質については單に層流としたに止まる。Bénard 対流は二つの溫度勾配の差が β よりも更に一段と大きい他の限界を超えるときに亂流運動へ轉化する實驗事實のあることを考へれば、現實に生起する粒狀斑現象は Plaskett の考へた段階より一段進んだ亂流狀態を現はすものと考へられはしないであらうか。

以上の如く之等の理論は何れも問題をその性質上著しく簡略化して取扱ひ乍ら、またそれによつて粒狀斑の極く大體の説明が得られたと見做してよいであらう。之等を更に一般的立場から論することは第1章3に述べた如く Woolley によつて試みられたのであるが未だ明かな結論には達して

居ない。

III 白 斑

周知の如く白斑は多く黒點に附隨して現れ、太陽活動週期と關聯する現象であり、従つてその性状は黒點との關係に於てはじめて明かにされるものであらう。こゝでは單に前章に述べた輻射強度に關係する限りの問題として、またその中に現れる粒狀斑に関する問題として白斑現象を考へるに止める。

白斑の輻射強度分布等の研究は從來黒點研究の際、副次的に行はれて來た事情によつて現在も尙、觀測材料が極めて少い。白斑と光球との相對強度の中心周邊變化については $\lambda 5780$, $\lambda 4330$ について Richardson⁽¹⁾ の觀測、また全輻射については Wormell⁽²⁾ の觀測があるのみである。連續スペクトルの強度分布については Ambarzumian 及び Kosirev⁽³⁾ の結果のみで第7表に夫々の波長について光球スペクトルとの相對強度を示した。

第 6 表

$\sin\theta$	$\lambda 4330$	$\lambda 5780$	全 輻 射
0.60	1.04	1.02	—
0.70	1.06	1.03	1.02
0.80	1.10	1.04	1.03
0.90	1.14	1.10	1.04
0.95	1.17	1.16	1.05

第 7 表

$(\sin\theta = 0.94)$	I_F/I	第6表の示す如く相對強度が黒點、粒狀斑の場合とは異り周縁に近付くと共に増大する事實は白斑内に於ける溫度分布が一般光球のそれと異なることを、即ち白斑が輻射平衡の状態にないことを示すものと考へられる。
3897	1.14	Unsöld ⁽⁴⁾ は全輻射の強度變化を説明するやうな溫度分布として輻射平衡に於ける $B(\tau)$ の式の係數を變へて次の如き關係を見出した。但し τ は白斑内に於ける光學的深さとする。
3918	1.15	
4981	1.10	
5063	1.10	

(1) Ap. J. 78 (1933), 359.

(2) M. N. 96 (1936), 736.

(3) Pulkovo Obs. Circular No. 2 (1932).

(4) Phys. d. Sternatmosphären (1938), 375.

$$B_F(\tau) = \frac{1}{2} F (1.1 + 1.4 \tau)$$

この式によつて白斑表面 ($\tau=0$) に於ける温度を求めるとき、光球面より大體 100 度高いことが云はれる。然し乍ら $\tau=1$ より内部に於ては逆に白斑内の温度が光球より低温であると云ふ結果が得られる。また Raudenbusch⁽¹⁾ は第 1 章の Plaskett の方法を用ひて Richardson の観測 ($\lambda 4330$) を説明するためには白斑温度は $\tau=0.016$ の範囲に於て光球温度より 2250 度高くなればならぬ即ち白斑温度として 7300 度を得た。之等の輻射強度或は温度分布についての理論的根據は未だ何等明かにされて居ない。僅かに Richardson が白斑として Minnaert-Wanders の模型⁽²⁾、即ち輻射平衡にある光球内に $\tau=0$ から τ_0 まで延びて居る對流平衡にある氣體柱を考へ、 $\tau_0=3$, $\gamma=1.14$, 吸收係数を一定とした場合が最もよく中心周邊強度變化を説明し得ることを示したに過ぎない。

次に白斑の構造を示す重要な現象として白斑内

- (1) A. N. 263 (1939), 323.
 (2) ZS. f. Ap. 5 (1932), 309.

の粒状斑の問題がある。白斑粒状斑の存在は既に Janssen が認めたのであるが、それの特殊性は ten Bruggencate⁽³⁾ によつて最近認められた。粒状斑個體の直徑は 1''~2'' 程度で光球粒状斑と同一であるが平均壽命は 1 時間或はそれ以上と云ふ結果が得られて居る。この後者の事實によつて、白斑粒状斑が白斑を透して見た光球粒状斑ではないことが豫想される。白斑は Plaskett の考へた如き光球外部にたゞよつて居る高温の部分ではなく、光球内部に滲透してその中に持続性の大きい粒状斑を発生し得る如きひとつの状態を占めて居ると考へることが出来るであらう。

結語 連續スペクトルを通じて見た太陽光球の諸問題の研究は大體以上述べた如き現状である。限られたこの範囲に於ても観測的に理論的に明かにさるべき問題は多い。おそらく光球の問題は單に光球自身の状態を説明するのみならず更に黒點彩層の形成或はプロミネンスの發生の根據を問ふ問題ともなり得るであらう。將來之等の問題について再び觸れる機會を得たいと思ふ。(完)

- (3) ZS. f. Ap. 19 (1939), 59.

ア プ ラ ナ ー ト 反 射 寫 真 機 (IV)

廣瀬

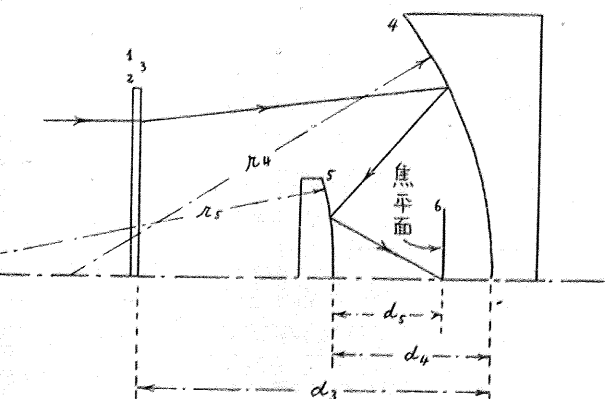
秀 雄

5. 鏡を一枚追加する事 3 枚の鏡を用ひれば理論的には充分収差を小さくする事が出来るが、影がさす爲 (Vignettung) 實用上利益は少なくなる。然し C. P. を併用せる Schmidt の考へを用ひれば、即ち 2 枚の鏡と C. P. によれば、同様な結果が得られる。之が J. G. Baker の⁽²⁶⁾ 研究したものである。以下の議論は 3 次光學によるものとする。

今簡単の爲 C. P. は中央凸出のない平面板式のものとする。然らば焦點面が平面の爲には、Petzval の定理より明に第 II 鏡は主鏡と曲率半径の等しい凸面の筈である。Baker の反射鏡の光學要素の配置は第 6 圖の様になる。今 Coma 収差、非點収差及び像面の曲り

がない様に各要素を定めても猶二つの parameter が残る。一は主鏡、C. P. 間の距離 d_3 で、他は第 II 鏡より寫真乾板迄の距離 d_5 である。 d_3 は歪曲の量を指定する事 (例へば = 0) より定まる

第 6 圖



(26) 前號脚註 20 參照。

が、 d_5 は全く任意に選ぶ事が出来る。今 d_5 の値を指定したとすれば、二鏡間の距離 d_4 は長さの単位として合成焦點距離を探れば、

$$d_4 = (1 - d_5)^2$$

で與へられ、その曲率半径は

$$r_4 = r_5 = -2(1 - d_5)$$

となる。Baker の記号を用ひれば、系の収差を規定する常数は

$$A = \alpha_1 + \beta_1 S_5 + \gamma_1 S_4$$

$$B = \alpha_2 + \beta_2 S_5$$

$$C = \alpha_3 + \beta_3 S_5$$

$$D = \alpha_4 + \beta_4$$

$$\text{但し } \alpha_1 = -\frac{1+2d_5-d_5^2}{8(1-d_5)} \quad \beta_1 = +8d_5^4 \quad \gamma_1 = -8$$

$$\alpha_2 = \frac{6+6d_5-12d_5^2+3d_5^3}{8(1-d_5)} \quad \beta_2 = +24d_5^3(1-d_5)^2$$

$$\alpha_3 = -\frac{3}{2} - \frac{3}{2}d_5 + \frac{15}{8}d_5^2 - \frac{3}{8}d_5^3$$

$$\beta_3 = +24d_5^2(1-d_5)^4$$

$$\alpha_4 = \frac{10+d_5-13d_5^2+7d_5^3-d_5^4}{8} \quad \beta_4 = +8d_5(1-d_5)^3$$

で、 S_4, S_5 はそれぞれ第4面(主鏡)、第5面(副鏡)上の“deformation”を規定する量⁽²⁷⁾である⁽²⁸⁾。

Anastigmat の條件 $C + Bd_3 = 0, B + 3Ad_3 = 0$ だけから任意の d_3 に對して S_4, S_5 を求める事が出来るが、正像の條件 $D + Ad_3^3 = 1/4$ を用ひるなら最初定めた d_5 のみにより d_3 も定り、從つて S_4, S_5 が定る。猶平面型 C.P. の方程式 $\xi = \beta h^4$ の係數 β は n を硝子の屈折率として、

$$\beta_3 = -\frac{A}{4(n-1)}$$

で與へられる。

普通の Schmidt camera は以上の特別な場合 ($d_5=0$) として導ける。勿論第5面(第II鏡)に關する量は存在せず、又 $S_4=0$ である。かくすれば、以前の Schmidt 収差式が得られ、結果は全く同じになる。猶 Schmidt の場合の $d_4 (+d_5=0)$ は Baker の d_4+d_5 と比べるべきである。

(27) 前文 I, p. 145, 脚註(4)の記号では $S_t = -8bRt^3$ に當る。

(28) 各係數の添字は面の番號であり、色消し C.P. の場合を含める爲、C.P. には 1, 2, 3 の 3 面があるとする。第1面は普通の平面である。

Baker は此新反射系を A, B, C, D の 4 箇の Family に分けた。A, B, C は歪曲を問題にしない場合のもので、

A. は $d_3=d_4$ のもの、即ち Wright, Vä sälä の 2b) に相當するもので⁽²⁹⁾、全長は略々焦點距離の 1/3 近縮め得るが、Baker は實際には $d_3=-r_4/2$ 、即ち主鏡の Gauss 焦點に C.P. を置く事として計算してゐる。鏡の曲線には變曲點はない。

B. は第 II 鏡が球面(即ち $S_5=0$)になる様に d_3 を選んだもので、此場合は幸にも S_4 の値は拋物面に對するものよりは遙に小さい。例へば口徑 12", 曲率半径 36" の鏡でも、球面との差は鏡縁で波長の 3 倍位しか違はない。

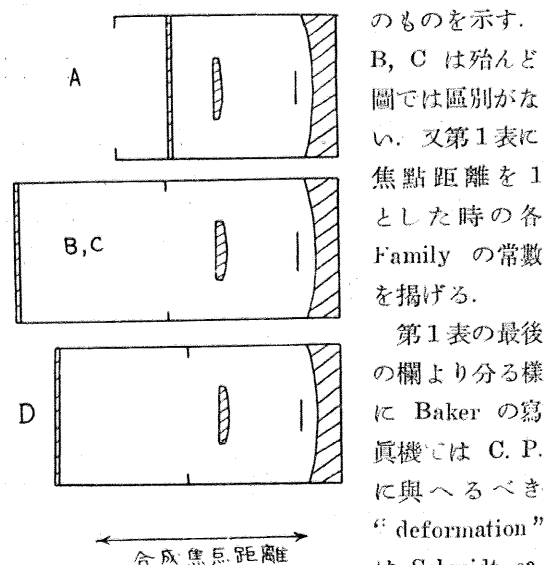
C. は B の反対で、主鏡が球面の場合 ($S_4=0$) である。鏡面検査は B より難しい。

B, C の合の字として $S_4=S_5$ 即ち二鏡とも全く同一面のものも作れる筈で、之は見掛けは B に非常に近い。

D. は歪曲は零にしたもので、その結果 d_3 が定まる。Baker は航空寫真用と名づけてゐる。

第7圖は之等の圖であり、有效口徑比 F/1.8,

第7圖



一様照明寫野 8° のものを示す。B, C は殆んど圖では區別がない。又第1表に焦點距離を 1 とした時の各 Family の常数を掲げる。

第1表の最後の欄より分る様に Baker の寫真機では C.P. に與へるべき “deformation” は Schmidt camera に對するものより大きい。又以上の理論は平面型 C.P. に對するものであつたが、Schmidt

(29) 前文 I, p. 149 參照。

第 I 表

Family	d_s	r_4, r_5	S_b	S_a	d_4	d_a	$\beta_a(n-1)$
A 1	0.1	-1.8	4.69393	0.02572	0.81	0.9	0.09182
	.2	-1.6	1.80054	0.04273	.64	.8	0.13281
	.3	-1.4	1.27045	0.07289	.49	.7	0.19260
	.4	-1.2	1.19358	0.13021	.36	.6	0.28472
B 1	0.1	-1.8	0	0.000044	0.81	1.812077	0.041408
	.2	-1.6	0	0.0000212	.64	1.639858	0.053549
	.3	-1.4	0	0.000601	.49	1.475033	0.068613
	.4	-1.2	0	0.001428	.36	1.312230	0.088273
C 1	0.1	-1.8	-0.014838	0	0.81	1.815254	0.041323
	.2	-1.6	-0.015259	0	.64	1.648485	0.053174
	.3	-1.4	-0.016782	0	.49	1.48732	0.067683
	.0	-1.2	-0.019728	0	.36	1.329729	0.086427
D 1	0.1	-1.8	0.377557	0.001217	0.81	1.731932	0.043678
2	.2	-1.6	0.244141	0.003815	.64	1.505882	0.059974
3	.3	-1.4	0.224573	0.009240	.49	1.302650	0.082253
4	.4	-1.2	0.249895	0.020940	.36	1.112195	0.114502
Schmidt	0	-2.0	—	0	1.0	2.0	0.03125

で行はれてゐる様に色収差を減じる爲、中央凸出型にも出来る事は勿論で、その時の C. P. の方程式は、 r を C. P. の半径とすれば

$$\xi = -\frac{3}{2} r^2 \beta h^2 + \beta h^4 + \dots$$

の形となる。

Baker の望遠鏡は明に Cassegrain 系統である爲、當然第 2 鏡によつて 焦點距離は延長する。又非常に明るいものを作るなら第 2 鏡の形は大きくなり実用され得なくなる。

5. 取枠による光量の損失 本來の Schmidt Camera に於ては口径比と視野と、C. P. 及び大鏡の大きさの比 μ を與へるなら理論的には視野照明の様子が規定される⁽³⁰⁾。Smiley⁽³¹⁾ は此場合の諸關係を明かならしめる圖を作つてゐるので之を第 8 圖に復製した。之は理論的に受像面の大きさにより寫野中心で失はれる光量（百分率で）、及び斜入射光線束が大鏡の縁で切り取られず焦點に集り得る所謂一様な照明の寫野の直徑（第 8 圖の曲線で 5° 每に引いてある）等を示したもので、且つ斜線で黒くした部分では中心附近は暗く、一様な照明の寫野は環状である事を示す。中心附近に於て 100% の影損失の機械とは勿論 C. P. 直徑

が受像面直徑と等しいか又はそれより小さいもので斜入光線以外は焦點に達し得ない。かかる機械は皆既日食に於けるコロナ撮影等の目的に有用であらう。

第 8 圖より例へば直徑 $24''$ の C.P. と $33''$ の鏡で ($\mu = 0.73$) F/3.5 の機械を作れば“照明一様”な寫野は直徑 $3^\circ \sim 4^\circ$ で損失光量は 10% 以下である。又 F/1.5 の機械では直徑 20° の“一様な照明”的寫野は得られな

い、等の事が直に判明する。

實際の機械では問題は受像面の大きさではなく取枠の大きさを基とする必要があり、K. Brunnenkow⁽³²⁾ の研究があるが大した違ひはないから細部は省略し、多く作られるであらう F/2 の機械に就いて、寫野全體として明るい所謂“好都合”な取枠半径 r_c 、寫野縁に於て星の光度の落ち方

第 II 表

μ	r_c	r_d
1.00	0.405	0.06
1.25	0.452	0.21
1.50	0.513	0.34
1.75	0.583	0.47
2.00	0.678	0.55

(所謂 Rand korrektion 勿論今の場合は主として Vignettung に依る) が 0.1 を越へない様な取枠半径 r_d を第 II 表として與へるに留める。表中の μ は上記の様に大鏡直徑の C.

P. 直徑に對する比で、取枠半径の単位は C. P. の半径である。

6. Schmidt Camera の追跡收差 我々は以上に於て收差を殆んど理論的立場だから考察して來たが、實際 3 次の理論がどこ迄通用するか、實際作つた場合の收差如何を調べて見たいものである。然し殘念乍ら筆者は殆んどその資料を持たないので、次に光線追跡によつて東條氏の所謂“机上試作”を行つて見たいと思ふ。

(30) 前文 I, §8, p. 148 參照。

(31) P. A., 48, p. 180, (1940), Fig. 4

(32) A. N., 270, 36 (1940)

第III表 $F/2$ の時の C.P. 曲線, 球面収差及正弦條件^(*)

A: (2.6) 式を用ひた時

B: (2.3) 式を用ひた時

h	$\xi \cdot 10^6$	i_1	$10^3 \cdot \Delta S/f$			$\xi \cdot 10^6$	i_1	$10^3 \cdot \Delta S/f$
			g	d	C			
0.000	0.0	0.0	0.00	0.00	0.00	0	0.0	0.00
.025	-6.8	+110.0	+0.02	-0.09	-0.12	-	-	-
.050	-25.2	+183.5	-0.01	-0.10	-0.12	-25	+180.6	-0.04
.075	-48.4	+184.0	-0.01	-0.07	-0.08	-48	+179.2	-0.04
.100	-65.0	+72.2	0.00	-0.02	-0.02	-	-	-
h	-	0.0	0.00	0.00	0.00	-	0.0	0.00
0.125	-59.7	-194.3	+0.01	+0.05	+0.06	-58	-191.4	+0.08

 $h=0.108614$ $f=0.50298$ $h=0.108253$ $f=0.50295$ ^(*) この場合 $\Delta S/f = \Delta f/f$ となり球面収差曲線と正弦条件曲線は一致す。

今 C.P. の硝子として BK 7 を用ひ、 g -線に就て $F/2$ のものを設計するものとし、その屈折率を $n_g=1.52623$ とする。⁽³³⁾ Baker の式(2.6)を用ひるなら C.P. の曲線は ($F/2$ であるから $h \leq 0.125$)、

$$\xi = -0.011234 h^2 + 0.46391 h^4 + 0.69061 h^6 + \dots \quad (6.1)$$

従つて數箇の輪帶 (h の特別値) に就いて ξ 及びその傾斜角 i_1 は第 III 表 A の様になる。此場合 $h=0.108614$ となる。

又 (2.3) を用ひるなら $h=1.5$ として

$$\xi = -0.011135 h^2 + 0.47508 h^4 \quad (6.2)$$

従つて $h=0.108253$ となる。此場合の ξ , i_1 も比較の爲第 III 表 B に示した。殆んど差はない。軸上球面収差 ΔS を g , d , C 線に就て求めると表の様になる。表では ΔS を合成焦點距離の $1/1000$ を単位⁽³⁴⁾ として與へてある。此場合 g 線に就ては理論的には h に拘らず $\Delta S/f=0$ の筈で計算精度内で殆んど満足されてゐる (h , ξ の単位は大鏡の曲率半径で即ち $R=1$)。正弦条件の曲線は此場合全く球面収差曲線に一致する。此場合は又非點収差もない。

次に同じ BK 7 を用ひて $F/1$ のものに就て計算すれば ($h \leq 0.25$) 此場合は h^6 の項が ξ の 5 桁

目に影響する輪帶がある。Baker の式より g 線に就いて

$$x = -0.046215 y^2 + 0.429930 y^4 + 0.62745 y^6 \\ + 1.0734 y^8 + 3.349 y^{10}$$

を得る筈で、結果は第 IV 表に出す。 $10^3 \cdot \Delta f/f$ の形で正弦条件も與へた。C.P. 面曲線の深くなるにつれ急激に球面對稱性の尖はれ行く状態が推察される。C 線の線果は省略する。

第 IV 表 $F/1$ の時の C.P. 曲線, 球面収差及正弦条件

h	$\xi \cdot 10^6$	i_1	$10^3 \cdot \Delta S/f$		$10^3 \cdot \Delta f/f$	
			g	d	g	d
0.00	0.0	0.0	0.00	0.00	0.00	0.00
.05	-112.8	+15 8.6	+0.01	-0.22	+0.01	-0.76
.10	-418.6	+25 43.9	+0.02	-0.18	+0.02	-0.22
.15	-814.8	+26 40.6	+0.02	-0.12	+0.02	-0.20
h	-	0.0	0.00	0.00	0.00	0.00
0.25	-1036.2	-27 25.2	+0.10	+0.13	+0.10	+0.26

 $h=0.219165$ $f=0.51246$

結果より $F/1$ では 4 次又は 6 次式が必要となる。

$F/1$ より明るくすると急に級數の收斂が悪くなり、軸上球面収差補正に解析式使用が困難になつて来る。

今直徑=曲率半径=1 の大鏡に、直徑 0.75 の C.P. を用ひた出來上り略 $F/0.7$ の光學系を考へる。都合上今 d 線に就き設計するとして、C.P. 硝子の屈折率を $n_a=1.51000$, $n_c=1.50762$,

(33) 實際入手した硝子の屈折率が此値と異なるなら、その時はその硝子に對しあかる屈折率を持つ波長に對し、設計したと考へればよい。

(34) 普通のレンズの収差圖は焦點距離の $1/100$ を單位として與へてある。

第 V 表 A: C.P. 曲線

C: コマ収差 (d -線)

h	ξ	i_1	光線	$10^3 \cdot \delta y/f$	
				$\omega = 4.5$	$\omega = 7.5$
0.000	-0.000 0000	0 0 0.0			
.050	0.2805	—	1	+0.69	+1.91
.100	1.0927	+1 12 24.1	2	-0.11	-0.23
.150	2.3454	—	3	-0.03	-0.21
.200	3.8756	+1 49 27.5	4	0	0
.250	5.4264	—	5	+0.17	+0.34
.300	6.6095	—	6	+0.23	+0.43
h	6.9145	0 0 0.0	7	-0.60	-1.75
.350	6.8348	—			
.375	-0.006 3191	-1 49 26.3			

 $h = 0.334\ 2735 \ R = 1$

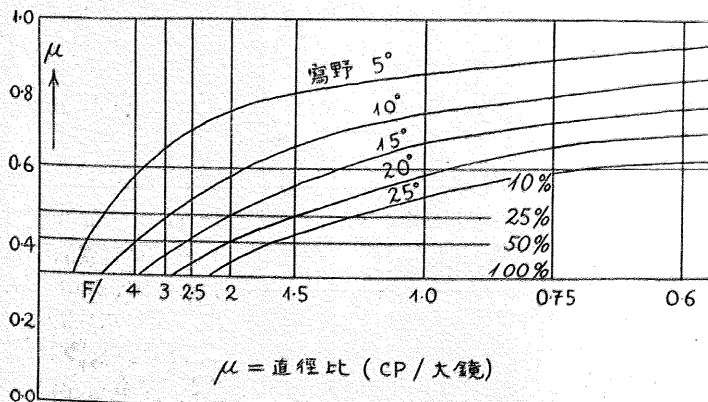
B: 球面収差及び正弦条件

h	$10^3 \cdot \Delta S/5$			$10^3 \cdot \Delta f/5$		
	g	d	C	g	d	C
0.000	0.00	0.00	0.00	0.00	0.00	0.00
0.100	+1.31	+0.21	-0.05	+1.43	+0.36	+0.15
0.200	+0.97	+0.19	+0.01	1.41	+0.63	+0.43
h	0	0	0	0	0	0
0.375	-0.29	+0.04	+0.11	-0.39	-0.13	-0.02

 $f = 0.53052$ D: 非點収差及び歪曲 (d -線)

ω_1	$10^3 \cdot \Delta m/f$	$10^3 \cdot \Delta s/f$	$(\omega - \omega_1)/\omega_1$
0.0	+0.00	0.00	0.0000
-4.5	+0.48	+0.11	+0.0249
-7.5	+1.19	+0.14	+0.0248

第 8 圖

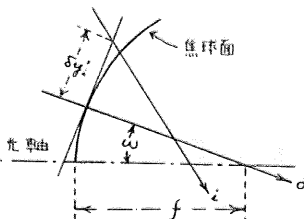


$n_g = 1.52000$ と考へる (略 BK 1 に當る). C.P. の曲線は ($h \leq 0.375$),

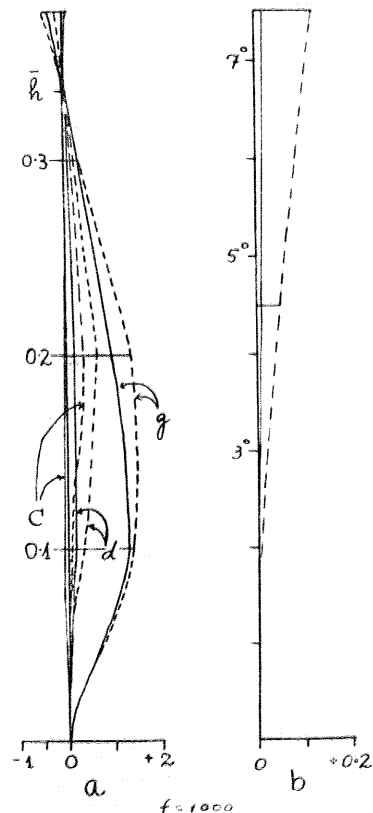
$$\begin{aligned} \xi &= -0.1131466 h^2 + 0.3830132 h^4 + 0.549769 h^6 \\ &\quad + 0.76233 h^8 + 3.47078 h^{10} + \dots \end{aligned}$$

で、種々の輪帶での ξ , i_1 は第 V 表 A の様になる。今の場合 C. P. の厚さが無視出来ないので、大鏡曲率半径を単位として、その厚さを中心部で 0.02 と定め、且つ入射瞳の位置は C. P. の第 I 面、即ち平面と一致するものとする。直徑 15° の寫野を利用するとした時の非點収差, 歪

第 9 圖



第 10 圖



曲⁽³⁵⁾は第V表Dとなる。⁽³⁶⁾之を除く爲には入射瞳をC.P.の中央凸出點に一致させればよい筈であるが、猶C.P.が球面對稱を持たない爲コマは殘存する(第V表C)。但しコマの計算に當つては理想焦點面が今の場合球であるので、主光線が焦球面と交る點の接平面上へ通常追跡で

- (35) Schmidtカメラの性質に基き、今の場合特に歪曲の定義として、角の比を取つた。即ち ω_1 なる傾角で入射する主光線が、光軸に對し最後に ω なる角が焦點へ向ふとして、歪曲の定義を $(\omega - \omega_1)/\omega_1$ とした。
- (36) 收差は大部分明に入射瞳が主鏡曲率中心と一致しない爲に生じたもので、C.P.の厚さによる最大の收差と考へられる。

得られるコマ $\Delta y'$ を引き直し、之を $\delta y'$ として表示する(第9圖参照)。球面收差は何れの場合でも第V表Bで、正弦條件と共に掲げる。10次式でも猶萬分の2程の殘存收差がある。第10圖は第V表の一部の圖示で、aは球面收差及正弦條件、bは非點收差である。

此様な機械で注意すべき收差は色收差及びコマで、非點收差、歪曲は適當な注意で相當小さく出来る筈である。

以上の3例を通じ、色收差を小ならしめる爲には使用波長域の最短波長に近いものに就てC.P.を設計するのが良好な結果を與へると考へられる。(未完)

抄 錄 及 資 料

無線報時修正値 東京無線電信所(船橋)を経て、東京天文臺より放送した、今年VIII月中の報時修正値は次の通りである。學用報時は報時定刻(毎日11時、21時、23時)の5分前、即55分より0分までの5分間に306個の等間隔の信號を發信するが、此の修正値はそれら306個の信號の内約30個の信號を測定し、平均したるもので、全信號の中央に於ける修正値に相當せるもので

ある。

分報時は1分より3分まで、毎分0秒より半秒間の信號を發信するがその修正値は學用報時のものと殆ど同様である。

次の表中(+)は遅れ(-)は早すぎを示す。

(東京天文臺)

1942 VIII	11 ^h 學用報時	21 ^h 學用報時	23 ^h 學用報時	1942 VIII	11 ^h 學用報時	21 ^h 學用報時	23 ^h 學用報時
1	- .110	- .101	- .067	16	- .001	- .016	+ .032
2	- .123	- .152	- .110	17	+ .011	-	- .032
3	+ .005	.000	- .028	18	- .040	- .049	- .128
4	- .043	- .042	- .038	19	- .039	- .078	- .101
5	- .050	- .080	- .117	20	- .091	- .080	- .088
6	- .024	- .032	- .083	21	- .014	- .023	- .016
7	- .038	- .033	- .109	22	+ .018	+ .052	+ .063
8	-	- .076	- .066	23	- .062	- .050	- .012
9	- .108	- .100	- .078	24	+ .004	+ .027	+ .077
10	- .196	- .193	- .180	25	+ .038	+ .034	+ .069
11	- .014	- .064	- .059	26	+ .057	+ .050	+ .084
12	+ .002	+ .008	- .001	27	+ .018	+ .003	+ .048
13	- .043	- .010	+ .070	28	- .041	- .022	+ .013
14	+ .025	+ .023	+ .067	29	- .022	- .021	+ .018
15	+ .018	+ .054	+ .143	30	- .047	- .067	- .051
				31	- .048	- .031	- .004

取者座星の本年の食の観測

(1) 光電観測 VIII月中旬の第I, II觸は雨にて全然観測は出來なかつたが、IX月25日から27日にかけての復光は僅かに観測することが出來た。使用器械は麻布天文學教室の6時メルツ赤道儀に附した光電測光装置で、真空カリウム光電管を使用、真空管増幅をして銳感電流計にて讀む様にしたものである。上昇の前後に於け

る測定結果は次の通りで、比較星は γ , ϵ , α 等を用ひ日本標準時 光度差 $(\xi - \epsilon)$ たが、雲の爲妨げられたものがあるので ϵ との比較だけを掲げる。食の前後に於ける平常光度の場合の ϵ との光度差は0.88である

日本標準時	光度差 $(\xi - \epsilon)$
1942 IX 24 1 10	1.53
26 4 20	1.37
27 1 58	0.88

から 27 日の観測は完全に復光してゐる。Christie が前回の食の観測を全部集めて作つた光度曲線を用ひて今回の觸の時刻を求ると、第Ⅲ觸は IX 25.65、第Ⅳ觸は IX 27.00(日本標準時)となり天文月報 35, 90 の Christie の要素に依る豫報との O-C は夫々 -0.05 , -0.04 である。此の値を用ひると本年の食の中心は J.D. 2430609, 37 となり、之と過去に於ける二回の食の観測とを組合はせると次の様な新しい要素を求めることが出来る。

極小 = J.D. 242 7692.83 + 972.18E

尙光電管の有效波長は大體 4200A でそれに對する變光

範囲は 0.64 等であつた。

(古畑)

(2) 分光観測 5 星の分光観測は麻布天文學教室の對物プリズム分光儀により行はれた。皆既に入る方(第Ⅰ觸 - 第Ⅱ觸)の観測は曇天の爲、不可能に終り、皆既中は數回撮影出來たが、月其他の條件により、満足なものは IX 月 11 日に得た 1 枚であつた。皆既の終る方(第Ⅲ觸 - 第Ⅳ觸)の観測は天候不良と月明の爲、矢張放棄の止むなきに至り、結局皆既の観測は不成功に終つた。皆既の直前、VIII 月 15 日、皆既終了後 X 月 3 日には夫々 1 枚づゝの撮影を行つた。(藤田)

VIII 月に於ける太陽黒點概況

日	黒點群	黒點數	黒點概況	日	黒點群	黒點數	黒點概況
1	2	9	二つの小さい群あり	17	1	3	上記の新群はたちまち消失す
2	1	6	一つの群は消滅す	18	—	—	観測なし
3	2	9	更に小さい群出現す	19	—	—	"
4	2	14	稍數を増加す	20	1	3	東部に新群出現す
5	2	13	二つの群は西に移動す	21	2	13	西部に小群出現す
6	—	—	観測なし	22	3	13	西部に更に小群出現す
7	2	14	大した變化なし	23	—	—	観測なし
8	2	16	"	24	2	48	中心部に稍大なる二つの群あり
9	2	14	"	25	2	50	變化なし
10	—	—	観測なし	26	2	37	二つの群は共にやや衰ふ
11	1	4	一つの群は太陽の縁邊に没す	27	3	46	東部に新群を見る
12	2	4	中心部に小群現る	28	3	24	新群は増大し他は愈々衰微す
13	1	2	出現中のものは消え東方に新しいもの現る	29	3	25	新群は増大す
14	1	3	大した變化なし	30	—	—	観測なし
15	1	2	"	31	—	—	"
16	3	12	中心部に二つの小群現る				

使用器械、観測方法等については本誌第 31 卷第 4 號第 77 頁参照

天 象 櫃

流星群: XI 月は流星が多い、牡羊座、牡牛座附近から光度の著しいものが往々現はれる。特に本月は月中旬の獅子座流星群に注意されたい。

	赤 經	赤 緯	輻射點	性 質
上旬	2h 52	+22°	41 Ari	緩、輝
上旬	3 52	+9	λ Tau	緩、輝
中旬	10 0	+12	γ Leo	遠、痕、顯著
17 23日	1 40	+43	γ And	甚緩

20-23日 4 21 +22 κ Tau 緩、輝
下旬 10 24 +37 μ UMa 速

變光星 次の表は XI 月中に起る主なアルゴル種變光星の極小の中 2 回を示したものである。長週期變光星の極大の月日は本誌第 34 卷 199 頁にある。最近に極大に達する管の星で觀測の望ましいものは V Gne, RCVn, RT Cyg, RU Cyg, χ Cyg, R Vul 等である。

アルゴル種	範 囲	第二極小	週 期	極 小 時				D	d
				中	央	標	準		
062532	WW Aur	5.6-6.2	6.1	2	12.6	9	21	6.4	0
023969	RZ Cas	6.3-7.8	—	1	4.7	3	20	4.8	0
005381	U Cep	6.9-9.2	7.0	2	11.8	4	20	9.1	1.9
071416	R CMa	5.3-5.9	5.4	1	3.3	12	0	4	0
220445	AR Lac	6.3-7.1	6.5	1	23.6	13	1	8.5	1.6
030140	β Per	2.2-3.5	—	2	20.8	10	23	9.8	0
035727	RW Tau	8.1-11.5	—	2	18.5	2	22	8.7	1.4
103946	TX UMa	6.9-9.1	—	3	1.5	5	1	8.2	0
191725	Z Vul	7.0-8.6	7.1	2	10.9	4	19	11.0	0

D- 變光時間 d- 極小繼續時間

東京(三鷹)に於ける星の掩蔽(XI月)

東京天文臺回報第189號に據る。表の説明に關しては本誌1月號参照)

日附	星名	光度	現象	月齢	中央標準時	a	b	方向角	
								P	V
12	B.D. -19° 5154	6.7	D	3.7	17 30	—	—	5°	333°
12	B.D. -20° 5267	8.9	D	3.7	17 49	—	—	90	55
12	B.D. -19° 5170	8.9	D	3.8	18 22	—	—	60	20
13	B.D. -18° 5490	8.5	D	4.7	17 13	—	—	45	27
13	B.D. -18° 5513	8.8	D	4.8	19 59	—	—	10	325
14	B.D. -17° 6088	8.0	D	5.7	17 18	—	—	10	4
14	B.D. -17° 6089	7.2	D	5.7	17 30	—	—	45	36
14	B.D. -16° 5711	8.1	D	5.8	19 8	—	—	65	35
14	B.D. -16° 5718	8.6	D	5.8	20 18	—	—	45	4
19	f Piscium	5.3	D	10.9	22 19.1	-2.7	0.0	103	77
20	39 B. Arietis	6.5	D	11.9	21 12.4	-1.1	-2.7	25	40
23	α Tauri	1.1	D	14.9	22 26.5	-3.3	+3.9	128	173
23	α Tauri	1.1	R	15.0	23 16.5	-0.9	-4.8	195	223
25	119 Tauri	4.7	R	16.1	3 47.8	-1.2	+0.9	309	252
25	120 Tauri	5.5	R	16.2	4 42.8	-0.8	-0.1	296	237
25	19 B.Geminorum	6.2	R	16.9	21 12.9	-0.4	+1.0	237	296

XI月の太陽・月・惑星

主として東京天文臺編纂理科年表に據る。時刻は凡て中央標準時、出入、南中は東京に於けるもの

太陽 乙女座より、蝎座北端を通り蛇遺座の西南へ向て移つて行く。8日に黄經225度となり立冬の節に入る。日出は1日の6時2分より30日の6時30分迄、日没はそれぞれ16時47分より16時28分迄變る。

月 1日15時下弦となつた月が同日23時12分に出る事より始り、9日0時天秤座で新月、15日16時山羊座で上弦、23日5時牡牛座東部で満月となる。

水星 今月中は太陽の近くに居る爲見えない。

金星 之も今月中は太陽と殆んど同時に出没する爲見えない。

火星 太陽に僅か數十分先立つて出没するので、之もやはり殆んど見えない。光度1.9等。

木星 双子座東端にあつて、-2等の光輝を放ち乍ら、月始め21時頃東天に昇り始めるが月末には2時少し前に昇る。月始めのゆるやかな順行は12日に留り、以後逆行に移り、運動も段々速になり、衝の近づ

くのを告げる。視半徑は7日の19.2秒より27日には20.3秒迄増える。

土星 牡牛座中に在つて衝に近く、除々として逆行を續けてゐる。光度0.2等。7日には18時12分に東より昇り翌朝8時過に没するが、27日には16時47分に出、7時頃没する。夜中見られ視半徑も今が最大で、月央ば以後9.2秒となる。

天王星 牡牛座を逆行中で、25日に衝となる。光度5.9等、双眼鏡で充分見出し得る。視半徑1.9秒。7日には17時37分に出るが、27日には16時15分の出となる。勿論夜中見られる。

海王星 獅子、乙女の境に近く、緩漫に順行中で光度7.8等。7日の出は2時41分、入は14時49分、27日には出は1時25分、入は13時32分で、小望遠鏡で明方見られる。

ブルートー 蟹座にあり、光度15等。

昭和 17 年 10 月 25 日 印刷
昭和 17 年 11 月 1 日 発行

定價 金 30 錢
(郵 稅 1 錢)

編輯兼發行人

東京都北多摩郡三鷹町東京天文臺構内
福 見 尚 文

印 刷 人

東京市神田區美土代町 16 番地
(東京 35) 鳥 富士 雄

印 刷 所

東京市神田區美土代町 16 番地
株式會社 三秀舎

發 行 所

東京都北多摩郡三鷹町東京天文臺構内
社團 法人 日本天文學會

振替口座 東京 13595

配 給 元 東京市神田區淡路町二丁目九 日本出版配給株式會社

THE ASTRONOMICAL HERALD

VOL. XXXV NO. 11

1942

November

CONTENTS

H. Noziri: On the Pluto (Article)	137
Z. Hitotuyanagi: Problems in the Solar Photosphere. II (Article)	138
H. Hirose: On the Aplanatic Reflecting Camera. IV (Article)	143
Abstracts and Materials—Sky of November 1942	148